

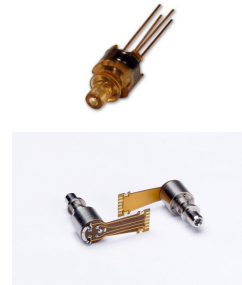
FOTODIODY



półłącze
(bulkhead)



„pigtail”



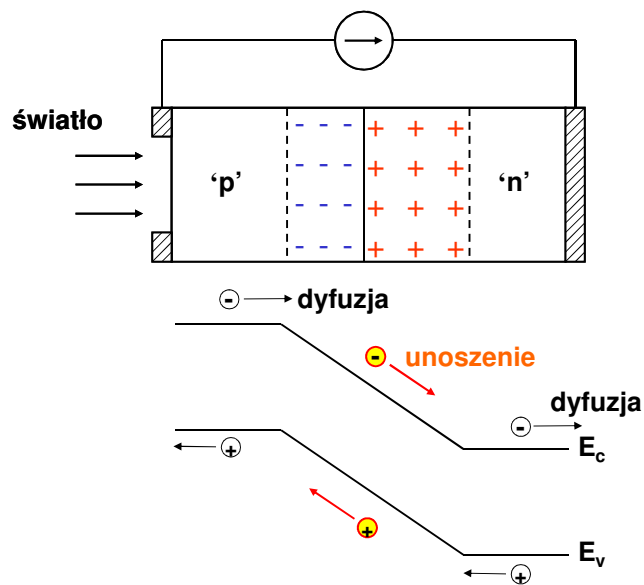
ROSA



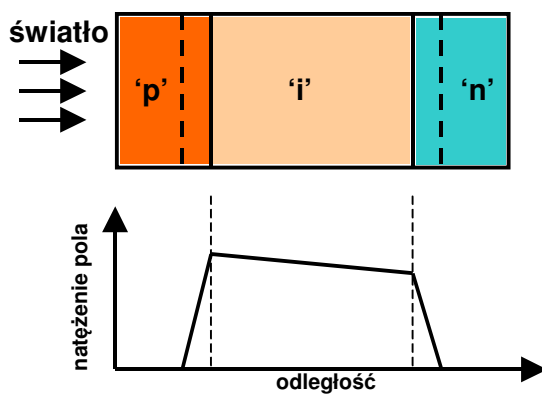
Plan wykładu

- Fotodioda p-n
- Fotodioda p-i-n
- Podstawowe parametry i charakterystyki
- Szumy fotodetekcji
- Szybkość działania fotodiody

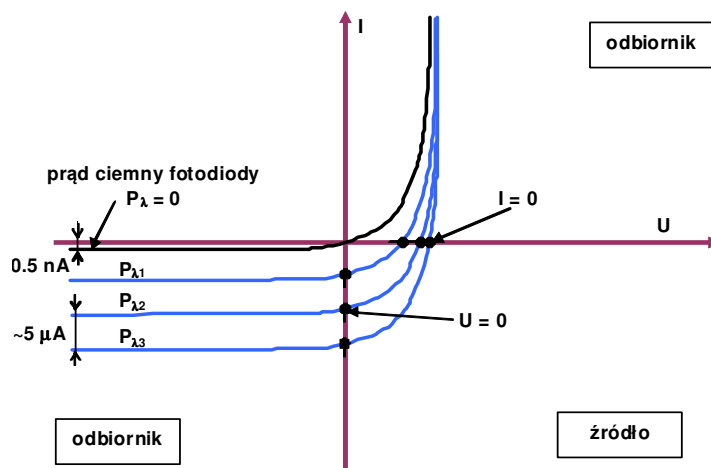
Fotodioda p-n



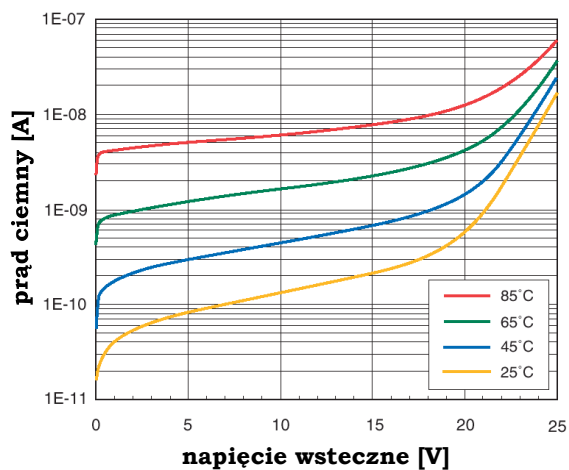
Fotodioda p-i-n



Charakterystyka statyczna fotodiody



Prąd ciemny fotodiody



Czułość fotodiody

Czułość fotodiody

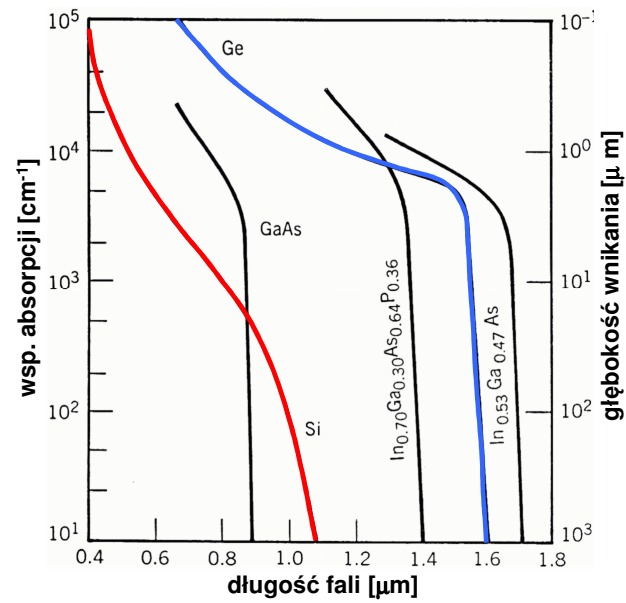
$$R = \frac{I_F}{P_\lambda} = \eta \frac{q}{h} \frac{\lambda_0}{c}$$

$$\eta = \frac{\text{strumień gen. par e-h, pow. przepływ prądu}}{\text{strumień padających fotonów}}$$

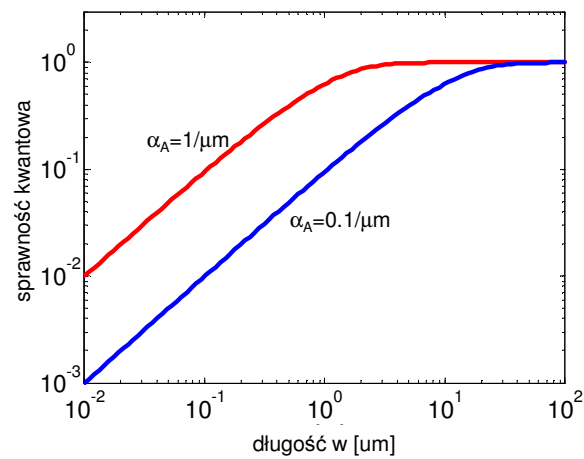
η = prawdopodobieństwo, że foton wygeneruje parę e-h

$$\eta = (1 - r)(1 - \xi)(1 - \exp(-\alpha_A W))$$

Współczynnik absorpcji



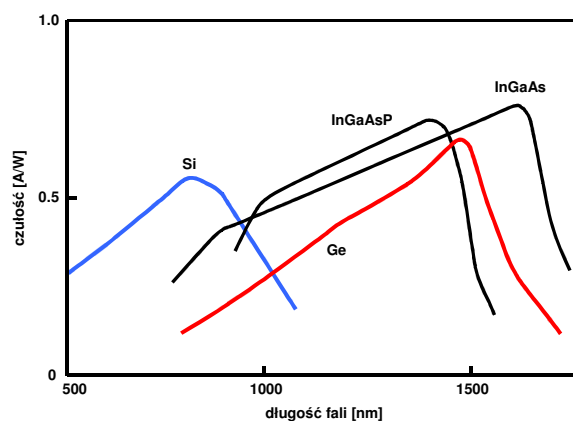
Sprawność kwantowa



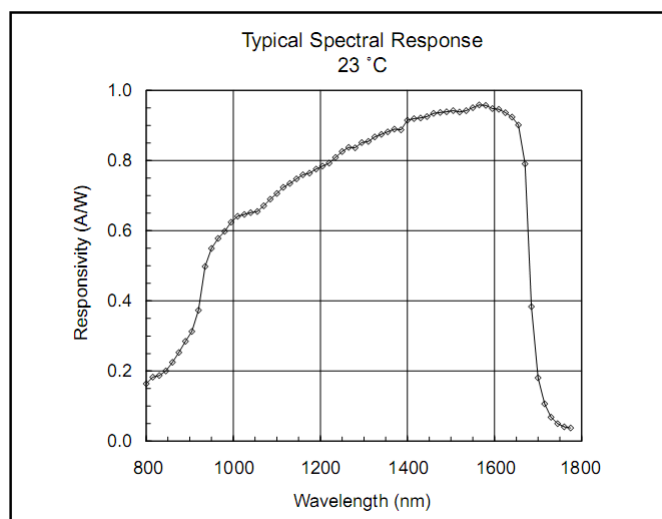
$$\eta = (1 - r)(1 - \xi)(1 - \exp(-\alpha_A W))$$

Charakterystyka spektralna fotodiody

$$R = \frac{I_F}{P_\lambda} = \eta \frac{q}{h} \frac{\lambda_0}{c}$$

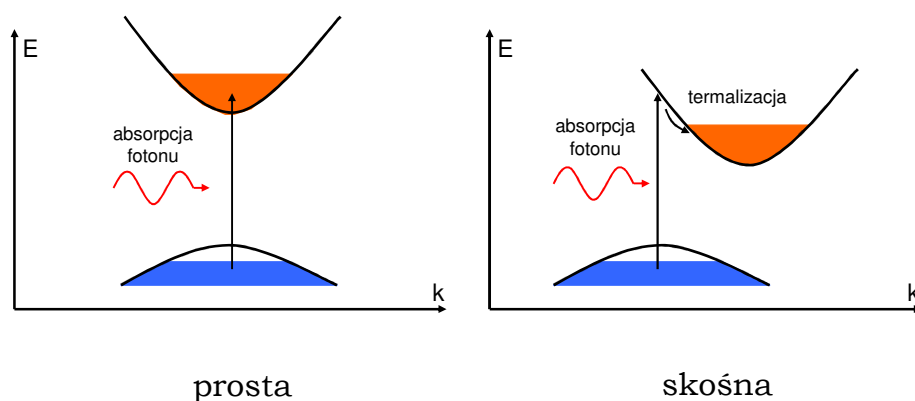


Charakterystyka spektralna fotodiody

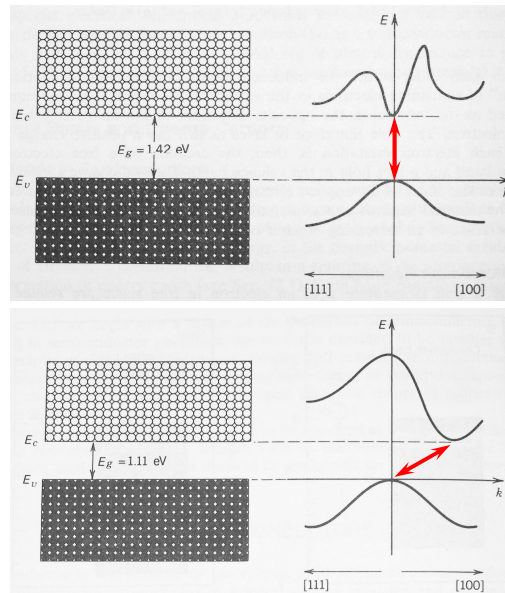


Zależność E-k dla półprzewodników

Rodzaje przerwy energetycznej



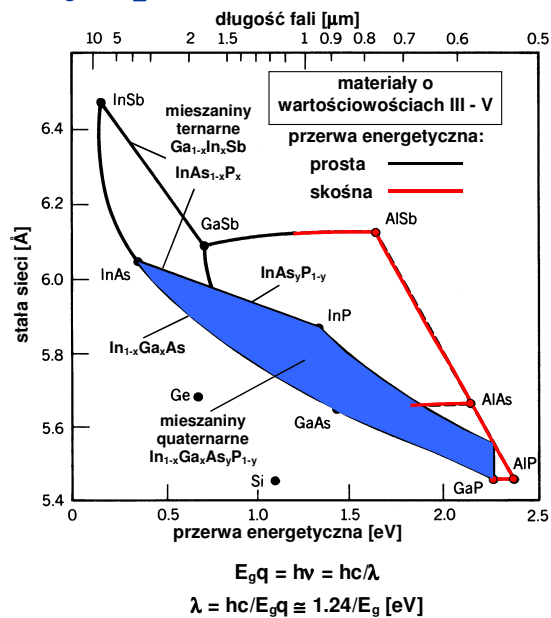
Rodzaje przerwy energetycznej



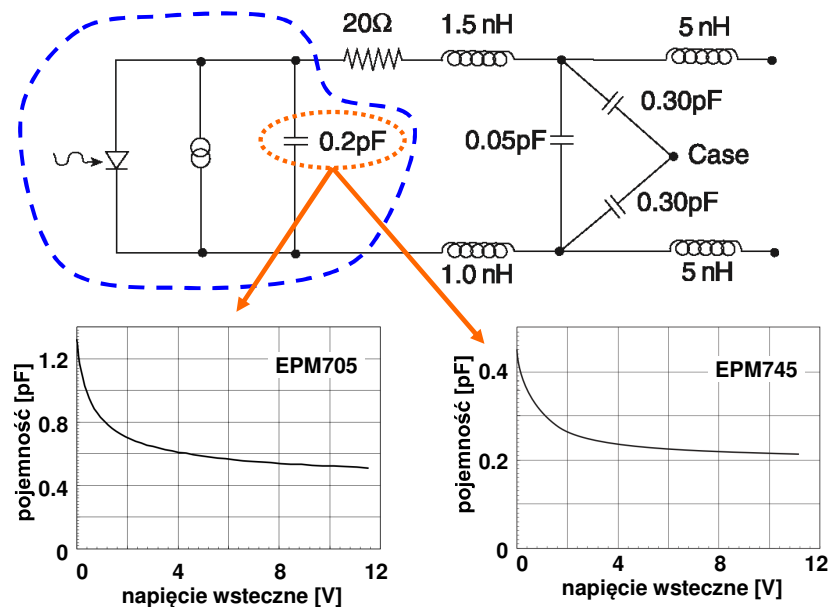
GaAs
przerwa prosta

SI
przerwa skośna

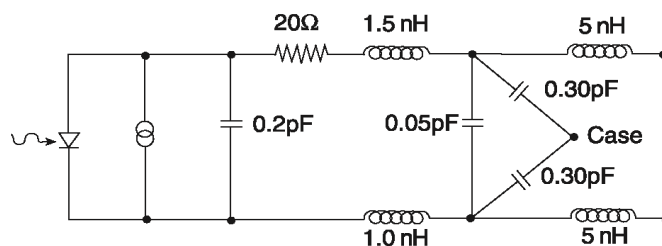
Elementy optoelektroniczne - materiały



Schemat „elektryczny” fotodiody



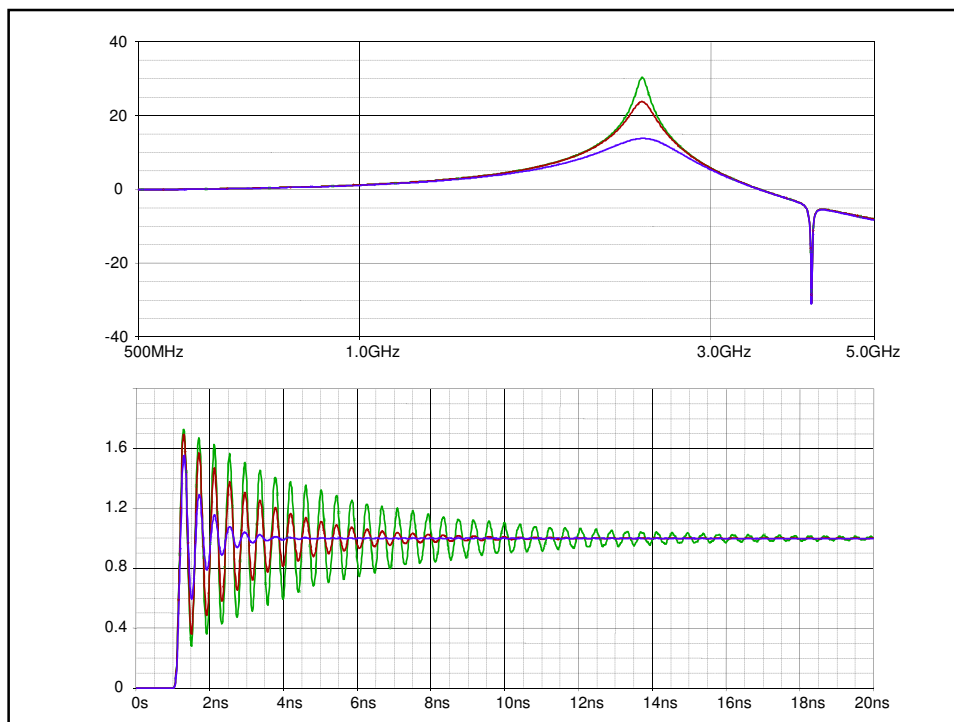
Szybkość działania fotodiody



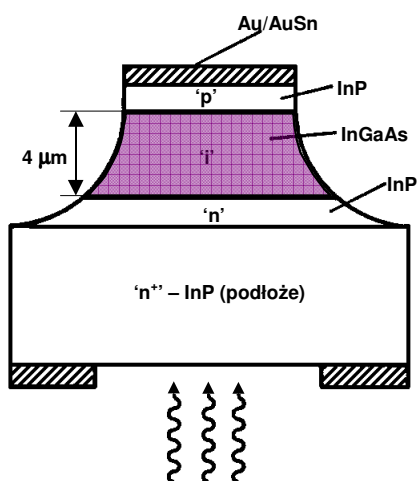
- czas przelotu nośników

$$\tau_{tr} \approx W/v_h (\sim 100 \text{ ps})$$
- stała czasowa „obudowy”

$$\tau_{RC} \approx \sim 100 \text{ ps}$$
- składowe dyfuzyjne prądu
- fotodioda heterozłączowa



Składowe dyfuzyjne – fotodioda heterozłączowa



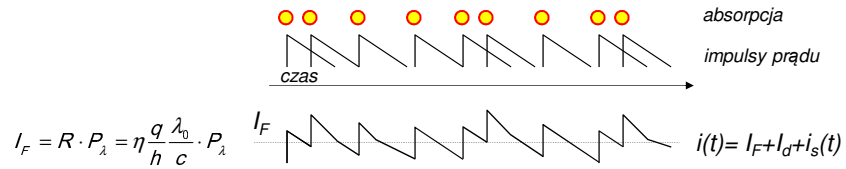
InP

$E_g = 1.35 \text{ eV}$; $\lambda_0 = 0.92 \mu\text{m}$

InGaAs

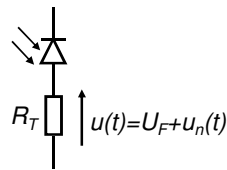
$E_g = 0.75 \text{ eV}$; $\lambda_0 = 1.65 \mu\text{m}$

Szumy fotodetekcji - PiN



$$\langle i_s^2 \rangle \triangleq \overline{i_s^2} \triangleq \sigma_s^2 = 2e \cdot \overline{i(t)} \cdot \Delta f = 2e \cdot (I_F + I_d) \cdot \Delta f$$

Szumy fotodetekcji - PiN



$$\frac{S}{N} = \frac{U_F^2}{\sigma_n^2} = \frac{(I_F \cdot R_T)^2}{2e \cdot (I_F + I_d) \cdot R_T^2 \cdot \Delta f + 4kTR_T \Delta f}$$

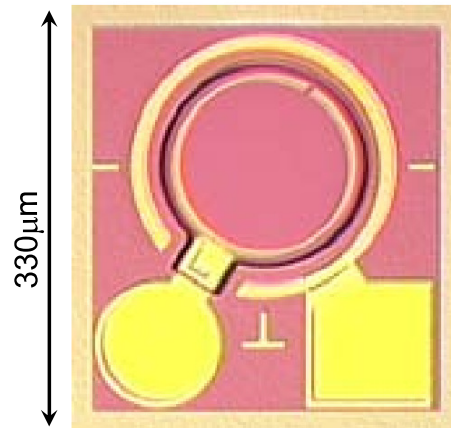
1. Limit „termiczny”

$$\frac{S}{N} = \frac{(I_F \cdot R_T)^2}{4kTR_T \Delta f} = \frac{I_F^2 \cdot R_T}{4kT \Delta f}$$

2. Limit „śrutowy”

$$\frac{S}{N} = \frac{(I_F \cdot R_T)^2}{2e \cdot (I_F + I_d) \cdot R_T^2 \cdot \Delta f} \approx \frac{I_F}{2e \cdot \Delta f}$$

Fotodiody – przykładowa struktura



PIN (2.5 Gb/s)